

برنامه‌ریزی سکوهای پرنده خودکار برای مأموریت‌های جستجو و نجات پس از مخاطرات طبیعی بر مبنای الگوریتم پیشنهادی G-BFOA

علی‌اصغر حیدری^۱، رحیم علی‌عباسپور^{۲*}

^۱ دانشجوی کارشناسی ارشد سیستم‌های اطلاعات مکانی - گروه مهندسی نقشه‌برداری - پردیس دانشکده‌های فنی -
دانشگاه تهران
as_heidari@ut.ac.ir

^۲ استادیار گروه مهندسی نقشه‌برداری - پردیس دانشکده‌های فنی - دانشگاه تهران
abaspour@ut.ac.ir

(تاریخ دریافت اسفند ۱۳۹۲، تاریخ تصویب اردیبهشت ۱۳۹۳)

چکیده

امروزه با رخداد بلاای طبیعی، گردآوری بی‌درنگ اطلاعات مکانی و محیطی از طریق به‌کارگیری سکوهای پرنده بدون سرنشین (UAV) به عنوان سکوی حامل سنجنده‌های چندمنظوره، به امری ضروری تبدیل شده است. سکوهای پرنده بدون سرنشین با پوشش سامانمند و سریع نواحی پرخطر که دسترسی نیروهای امداد زمینی به آن‌ها ممکن نیست، نقش قابل توجه ای را در بهبود کیفیت مأموریت امداد و جستجوی مجرروحین پس از وقوع مخاطرات طبیعی ایفا می‌کنند. از سوی دیگر، برنامه‌ریزی مأموریت UAV خود یکی از مراحل بنیادین جهت دستیابی به ناوی برای خودکار UAV می‌باشد. در این زمینه، تعیین خطوط سیر بهینه با توجه به نیازهای مأموریت و شرایط محیطی یکی از مراحل ضروری در برنامه‌ریزی سکوی خودکار می‌باشد. در این پژوهش افرون بررسی نقش UAV در بهبود عملیات امداد و نجات در شرایط بحران، الگوریتم غذایابی باکتری بهبود داده شده و جهت حل مسئله برنامه‌ریزی خط سیر UAV پیاده‌سازی می‌شود. سپس، به منظور اعتبار سنجی کارکرد الگوریتم پیشنهادی با دیگر الگوریتم‌های پیاده‌سازی شده مقایسه می‌گردد. در پایان، نتایج شبیه‌سازی مأموریت جستجو و نجات با سکوی پرنده و دستاوردهای پژوهش بیان می‌شود.

واژگان کلیدی : برنامه‌ریزی، سکوهای پرنده بدون سرنشین، ناوی برای خودکار، مأموریت امداد و نجات، الگوریتم غذایابی باکتری

* نویسنده رابط

از این‌رو در فاز پاسخ شامل عملیات جستجو و نجات، به
دلیل شرایط پیچیده، اختلال در شبکه‌های ارتباطی و
تغییرات محیطی، به کارگیری سکوهای خودکار امری
اجتناب ناپذیر است. این سیستم‌ها با پوشش سامانمند
منطقه و جستجوی خودکار نواحی آسیب‌دیده، نقش
بسزایی را در مدیریت بی‌رنگ بلایای طبیعی و کاهش
تلفات انسانی ایفا می‌کنند [۴]. همچنین این سیستم‌ها در
مأموریت‌های وابسته به سنجش‌از دور، بهره‌وری و این‌منی
حسگرها را افزایش داده و موجب کاهش هزینه‌ها و نیروی
زمینی می‌شوند [۵].

پیچیدگی و ناپایداری محیطی از ویژگی‌های فرآگیر
فضاهای آسیب‌دیده است که پس از وقوع مخاطرات
طبیعی در جغرافیا، زیرساخت‌های انسانی، عدم تقارن قوا
و فرآیندهای سازمانی قابل مشاهده می‌باشد. از این‌روی،
انجام عملیات جستجو و نجات با به کارگیری UAV، به
دلیل فراهم آوردن بی‌رنگ اطلاعات مکانی موردنیاز در
محیط‌های پیچیده، ناشناخته و غیرقابل دسترسی، یک
راهبرد کارساز جهت مدیریت بحران محسوب می‌شود [۶].

از سوی دیگر، با توجه به پیشرفت‌های فناوری، روند توسعه UAV از سیستم‌های کنترل شونده از راه دور^۲ (RPV) به سمت توسعه سیستم‌های خودکار می‌باشد. از این‌رو، عمدۀ ترین نیاز در توسعه سامانه‌های خودکار بدون سرنشین، توسعه الگوریتم‌های پشتیبان به منظور برنامه‌ریزی، هدایت، ناوبری و پردازش اطلاعات حسگرها می‌باشد [۷]. در یک چارچوب یکپارچه فضایی، خودکاربودن UAV نیز از یکسو بر میزان دسترسی به اطلاعات ضروری مأموریت از طریق سنجنده‌های سکو و ارتباطات سیار و از سوی دیگر بر الگوریتم‌های جامع، کارا و پایدار جهت تصمیم‌گیری خودگردان در هنگام مأموریت استوار است. در همین راستا، برنامه‌ریزی UAV و طراحی خط سیر، دو مرحله ضروری در سیر توسعه زیرساخت سامانه‌های ناوبری خودکار می‌باشند [۸].

در مسئله برنامه‌ریزی سکوهای خودکار، با فرض معلوم بودن وضعیت کنونی یک سکو یا گروهی از سکوها و همچنین نقشه‌ای از محیط حرکت، هدف محاسبه خط سیر بهینه پرواز می‌باشد، به‌گونه‌ای که تابع هدف مشخصی با توجه به ویژگی‌های دینامیکی و پارامترهای مأموریت بهینه شود و سکو بدون برخورد با موانع و دیگر سکوها در حضور مناطق تهدید به یک موقعیت هدف یا پیکربندی مشخص در فضای پرواز برسد [۹]. بدین منظور، الگوریتم برنامه‌ریزی باید بتواند خطوط سیر بهینه، قابل پرواز و کنش پذیری فراهم آورد که نقاط آغازین و هدف را به صورت ایمن به هم متصل کنند، به‌گونه‌ای که بتوان آن‌ها را بر پایه یک قید مکانی-زمانی ارزش‌گذاری و مقایسه نمود [۱۰]. به همین سبب، دو مسئله مهم در فرآیند برنامه‌ریزی خط سیر، کنش پذیری و بهینگی می‌باشد. در کنش پذیری، بدون در نظر گرفتن کیفیت طراحی خط سیر، به دنبال محاسبه مسیر ایمن حرکت UAV می‌باشند؛ اما در بهینگی، هدف تولید مسیر کنش پذیری است که بر پایه قیود موجود در مرحله طراحی مأموریت، به صورت بهینه تعریف شود. در سناریوهای واقع‌گرایانه، الگوریتم‌ها باید بتوانند افزون بر دستیابی به اهداف برنامه‌ریزی، وظایف پیچیده سکو، محدودیت‌ها و عدم قطعیت‌های محیطی را در محاسبات لحاظ کنند [۲۴].

در این پژوهش با بهبود عملکرد الگوریتم غذایابی باکتری، برنامه‌ریزی سه‌بعدی UAV جهت مأموریت‌های امداد و نجات انجام شده و عملکرد این الگوریتم تحت دو سناریوی شبیه‌سازی شده با الگوریتم‌های ACO،^۱ BA،^۲ DE،^۳ ES،^۴ GA و PSO مقایسه می‌شود. بدین منظور در بخش ۲ اهمیت و ضرورت به کارگیری UAV در مأموریت امداد و نجات بیان گردیده، در بخش ۳، الگوریتم بهبودیافته غذایابی باکتری ارائه می‌شود، سپس در بخش ۴ مدل‌سازی ریاضی و قیود برنامه‌ریزی UAV در مأموریت‌های امداد و نجات انجام می‌شود. در بخش ۵ نتایج پیاده‌سازی الگوریتم و شبیه‌سازی‌های انجام گرفته ارائه خواهد شد. بدین منظور نتایج مربوط به سرعت همگرایی الگوریتم‌ها، زمان اجرا و دقیق هر الگوریتم در جهت برنامه‌ریزی UAV ارائه شده است. در پایان، در بخش پایانی نتایج و دستاوردهای پژوهش مطرح می‌شود.

۲- برنامه‌ریزی UAV در امداد و نجات

سکوهای هوایی چندمنظوره به سیستم‌های بدون سرنوشتی اطلاق می‌شود که در آن ضمن نصب یک یا چند سنجنده اخذ داده بر روی یک سکوی پرنده، مأموریت اخذ اطلاعات محیطی به صورت هدایت از راه دور انجام می‌شود [۲۱]. با توجه به مأموریت‌های جستجو با بالگرد و مسائلی همچون هزینه‌های تحمیلی، دسترسی محدود به تجهیزات و قادر پرواز، ملزمومات اجرایی و پروانه‌های نظامی موردنیاز، محدودیت سوخت و نیروی مأموریت، ماهیت سلسله مراتی دسترسی به اطلاعات و محدودیت‌های سرعت، زمان و ارتفاع پرواز، بهره‌گیری از سیستم‌های بدون سرنوشت در شرایط ناگه آیند، رویکردی پرهیز ناپذیر است [۲۸]. از این‌رو، به کارگیری سکوهای پرنده بدون سرنوشت به عنوان یک فناوری کارا و مقرن به صرفه، موجب بهبود عملکرد نیروهای زمینی امداد و نجات در شرایط مدیریت بحران خواهد بود [۶]. هزینه متعارف به کارگیری سکوهای پرنده، امکان پرواز در نواحی مخاطره‌آمیز، آلوده و غیرقابل دسترسی با ایجاد کمترین آلودگی صوتی، پایش وضعیت زیرساخت‌های حیاتی، فراهم آوردن چارچوب مرجع مکانی جهت پوشش یا

روش‌های بهینه‌سازی مختلفی جهت برنامه‌ریزی UAV بکار گرفته شده است که از آن جمله می‌توان به روش جستجوی گرادیان مبنا [۱۱]، الگوریتم‌های EA،^۵ PSO^۶ [۱۲]، شبکه‌های عصبی [۱۴]، GA^۷ [۱۵]، ACO^۸ [۱۶]، برنامه‌نویسی پویا [۱۸]^۹ و DE^{۱۰} [۱۹] اشاره نمود. در بیشتر پژوهش‌ها از قیدهای سرعت و شاعع پیچش سکو، ارتباطات بی‌سیم، شاعع تشخیص و ایمنی سکو برای حل مسئله بهینه‌سازی بهره‌گیری کرده‌اند [۲۰]. حیدری و علی‌عباسپور نیز در [۲۱، ۲۲]، افرون بر توسعه روش‌های بهبودیافته‌ای بر مبنای الگوریتم رقابت استعماری، برنامه‌ریزی UAV خودکار را با کارکرد بهتری نسبت به تحقیقات پیشین و برای سناریوهای دیگری به روش‌های توسعه داده شده تحقیقات اثبات گردید که روش‌های توسعه داده شده عملکرد برتری در مقایسه با الگوریتم‌های PSO، GA، ICA^{۱۱} و ABC^{۱۲} جهت حل مسئله داشته‌اند. در همین راستا حیدری و علی‌عباسپور در [۲۳، ۲۴]، ضمن توسعه الگوریتم‌هایی بر پایه فیزیک سیاه‌چاله، برنامه‌ریزی UAV را در محیط‌های دو و سه‌بعدی دینامیک با عملکرد ممتازی نسبت به الگوریتم‌های ICA، ABC، PSO، GA، HBMO^{۱۳}، ACO^{۱۴} و BH^{۱۵} شبیه‌سازی و اجرا نمودند. در [۲۵] نیز بر پایه تلفیق الگوریتم LCA^{۱۶} و ساختارهای هندسی، برنامه‌ریزی مقید سکوهای پرنده نامحسوس در محیط‌های دینامیک دو بعدی با بهترین عملکرد نسبت به الگوریتم‌های GA و PSO شبیه‌سازی گردید. همچنین در [۲۶] یک روش سریع و کارا بر مبنای محاسبات ایمنی جهت برنامه‌ریزی UAV در محیط‌های مقید سه‌بعدی ارائه گردیده است. در پژوهش [۲۷] نیز بر مبنای الگوریتم ICA بهبودیافته با سیستم آشوبناک چیباش، یک چارچوب فازی جهت برنامه‌ریزی سکوهای نامحسوس ارائه گردیده است.

^۱ Particle Swarm Optimization

^۲ Genetic Algorithms

^۳ Differential Evolution

^۴ Ant Colony Optimization

^۵ Mixed-integer Linear Programming

^۶ Imperialist Competitive Algorithm

^۷ Artificial Bee Colony Algorithm

^۸ Honey Bee Mating Optimization

^۹ Black Hole Algorithm

^{۱۰} League Championship Algorithm

می‌تواند در ایستگاه کنترل زمینی، در فرآیند ناوبری، شبیه‌سازی و امکان سنجی پیش از پرواز و بهینه‌سازی خط سیر سه‌بعدی پرواز با توجه به پارامترهای مأموریت، جهت هدایت خودکار در محیط‌های ناشتاخته بکار گرفته شود [۲۲].

برای نمونه در یک مأموریت پایش و نظارت محیط پس از وقوع زلزله بیشینه‌سازی پارامترهایی همچون تعداد اهداف نظارت شده، تعداد مجروحان یافت شده، عملکرد طبقه بندی و میزان اختفاء و همچنین کمینه‌سازی پارامترهایی نظری عدم قطعیت ناوبری و میزان مصرف سوخت و انرژی از اهداف برنامه‌ریزی مسیر حرکت سکوی پرنده می‌باشد. بر این پایه که چه معیارهایی در فرآیند بهینه‌سازی لحظه‌گردد، حل الگوریتم مبنای مسئله منجر به نتایج مختلفی همچون یافتن کوتاه‌ترین مسیر میان دو پیکربندی فضایی، گردآوری اطلاعات جهت تولید نقشه‌های دقیق‌تر از محیط و یا جستجوی اشیاء در محیط‌های ناشناخته می‌شود. قیودی که بهمنظور برنامه‌ریزی جهت این ستاریو مطرح است عبارت‌اند از محدودیت‌های سکو از قبیل میزان مصرف سوخت و انرژی و پیشگی‌های دینامیکی، محدودیت‌های سنجنده شامل میزان پوشش، میدان دید و توان تفکیک تصاویر موردنیاز برای تشخیص عوارض زمینی، محدودیت‌های محیط پرواز از جمله تأثیرات مدل اتمسفری، خطر برخورد با ارتفاعات، محدودیت‌های اهداف شامل قیود حرکتی و محدودیت‌های مأموریت از قبیل محدودیت زمانی جهت سرعت بخشی به عملیات نجات. در این مأموریت، گروه امداد و نجات زمینی می‌تواند با بهره‌گیری از UAV خودکار، وضعیت منطقه آسیب‌دیده را بررسی و اطلاعات مومنیز را در کمترین زمان ممکن گردآوری نماید.

٣- الگوریتم بهبود یافته G-BFOA

تاكنون الگوریتم غذایابی باکتری^۱ (BFOA) در حل بسیاری از مسائل بهینه‌سازی مهندسی به کار گرفته شده است [۳۰]. الگوریتم غذایابی باکتری با الهام گیری از رفتار غذایابی باکتری‌ها به عنوان یک الگوریتم مبتنی بر خرد جمعی پیشنهاد گردید [۳۱]. نسخه‌های بهبود یافته دیگر الگوریتم BFOA و کاربردهای آن، در تحقیقات

بازیابی ارتباطات، انطباق‌پذیری سازگاری با انواع مأموریت‌ها و توانایی پایش افراد، منابع و تراپرها منطقه آسیب‌دیده بهمنظور کنترل امنیت بهصورت بلندمدت و پیوسته از مزایای بهکارگیری سکوهای پرنده بدون روشین در سناریوهای جستجو و نجات پس از وقوع مخاطرات طبیعی می‌باشد.

عملیات امداد و نجات به عنوان بخش عمدۀ مرحله روپارویی با بحران شامل جستجو، نجات، تأمین کمک‌های اولیه، انتقال ماجروحان تا نزدیکترین مرکز درمانی، تغذیه اضطراری، ساخت و تأمین سرپناه اضطراری، تخلیه جمعیت‌ها، تأمین امکانات اولیه و دریافت و توزیع کمک‌های مردمی و کالاهای اهدایی سازمان‌های غیردولتی داخلی و فرامرزی است [۲۹]. در این فرآیند UAV می‌تواند به عنوان سکوی حامل سنجنده‌های چندمنظوره در گردآوری اطلاعات، پایش محیط و کشف ماجروحان در کنار نیروی زمینی و در جهت سرعت بخشی به پیشرفت عملیات جستجو و نجات ماجروحین مورد استفاده قرار گیرد [۲]. از سوی دیگر، پس از وقوع بلایای طبیعی نظیر سیل یا زلزله، انجام عملیات امدادرسانی زمینی به سهولت امکان پذیر نیست و در صورت انجام پرواز سکوی پرنده نیز، میزان انرژی سکو و زمان پرواز محدود بوده و از این‌روی ناوی بری و هدایت به دست عامل انسانی مستقر در ایستگاه کنترل زمینی امری بسیار دشوار، فاقد سرعت، دقت و کارایی لازم است [۲۴]. همچنین در برخی مأموریت‌های گشت زنی بُرد بلند، لازم است که UAV مسافت زیادی را بیرون از محدوده کنترل پرواز کرده و در این‌بین مسیر بهینه را به صورت خودکار دنبال کند. از این دیدگاه، با توجه به چشم‌انداز توسعه سیستم‌های بدون سرنشیں خودکار، به منظور افزایش بهره‌وری، خودکارسازی، دقت، امنیت و قابلیت اطمینان پرواز و هم‌چنین کاهش هزینه‌ها، نیروی انسانی و ریسک در مأموریت سیستم‌های هوایی بدون سرنشیں، طراحی و برنامه‌ریزی خط سیر بهینه حرکت UAV به صورت الگوریتم مبنا و مستقل از سهوهای عامل انسانی، امری موردنیاز در صنایع وابسته خواهد بود [۲۵]. به دلیل شرایط حساس و وضعیت متغیر و ناشناخته منطقه بحران‌زده، مسیریابی خودکار سکوهای پرنده بخش بنیادین فرآیند ناوی بری خودکار جهت امدادرسانی به ماجروحین می‌باشد [۶]. در این فرآیند هر برنامه‌ریز

1 Bacterial Foraging Optimization

در این رابطه θ_{gbest} بهترین موقعیت یافت شده در سراسر جمعیت و $\theta_{i,pbest}$ بهترین موقعیت موجود در حافظه باکتری i است.

۲-۳- عملکرد گروهی

در هنگام حرکت، سلول‌ها مواد دفع‌کننده و جذب‌کننده‌ای را آزاد می‌نمایند که به منزله پیامی به دیگر باکتری‌ها جهت گردش‌های در نواحی پرودین و دوری از نواحی عاری از مواد غذایی می‌باشد. در صورتی که $\{j, k, l\} = \{\theta^i(j, k, l) | i = 1, 2, \dots, S\}$ بیانگر مجموعه مکان باکتری‌ها باشد، جذب و دفع سلول به سلول در مرحله عملکرد گروهی، مطابق رابطه (۳) مدل‌سازی گردیده است:

$$\begin{aligned} j_{cc}(\theta, P(j, k, l)) &= \sum_{i=1}^S j_{cc}^i(\theta, \theta^i(j, k, l)) = \\ &= \sum_{i=1}^S \left[-d_{attract} \exp(-\omega_{attract} \sum_{m=1}^p (\theta_m - \theta_m^i)^2) \right] \quad (3) \\ &+ \sum_{i=1}^S \left[-d_{repellant} \exp(-\omega_{repellant} \sum_{m=1}^p (\theta_m - \theta_m^i)^2) \right] \end{aligned}$$

که در این رابطه $j_{cc}(\theta, P(j, k, l))$ با توجه به حرکت همه باکتری‌ها،تابع زمان بوده و به مقدار تابع هزینه اصلی افزوده می‌گردد. S بیانگر تعداد کل باکتری‌ها، P تعداد پارامترهای دخیل در فضای جستجو جهت بهینه‌سازی، $\theta = [\theta_1, \theta_2, \dots, \theta_p]^T$ بیانگر یک نقطه در دامنه بهینه سازی در فضای p بعدی، θ_m^i نیز نشان‌دهنده i -مین جزء مکان باکتری i است.

$\{\omega_{repellant}, d_{repellant}, \omega_{attract}, d_{attract}\}$ ضرایبی می‌باشند که باید مقادیر مناسبی را برای آن‌ها گزینش کرد. در الگوریتم غذایی باکتریایی هیچ‌گونه همکنشی میان اعضای یک جمعیت وجود ندارد؛ به عبارت دیگر، اطلاعات مناسب‌تر که بهوسیله باکتری‌های موجود در نواحی با ماده مغذی بیشتر یافت شده، میان دیگر باکتری‌ها به اشتراک گذاشته نمی‌شود.

[۳۵-۳۶] پیشنهاد گردیده است. ایده بنیادین این الگوریتم بر این مبنای استوار است که جانداران با راهبرد غذایی ضعیفتر، احتمال انقرض بیشتری نسبت به جانداران با راهبرد غذایی موفق خواهند داشت. در این الگوریتم که با الهام از طبیعت باکتری *E-coli* در روده انسان توسعه داده شده، روش غذایی بر چهار مرحله اصلی حرکت^۱، عملکرد گروهی^۲، تولیدمثل^۳ و حذف و پراکندگی^۴ استوار است (شکل ۱). این باکتری می‌تواند با حرکت نرم و غلت خوردن به مناطق مغذی برود و از مناطق پرخطر دور شود.

۳-۱- حرکت

در این مرحله، باکتری‌ها شروع به جنبش و شنا می‌کنند. با هر جنبش باکتری، تغییر جهت حاصل می‌شود و اگر در جهت نوین مقدار ماده مغذی بهتر بود، باکتری شروع به حرکت در آن مسیر خواهد کرد. فرض می‌شود $J(i, j, k, l)$ نشان‌دهنده تابع هزینه در مکان باکتری i است و $C(i)$ نشان‌دهنده وقوع ز امین حرکت^k می‌شود. در این صورت حرکت لغزشی به صورت رابطه (۱) ارائه می‌شود:

$$\theta^i(j+1, k, l) = \theta^i(j, k, l) + C(i) \times \frac{\Delta(i)}{\sqrt{\Delta(i)^T \Delta(i)}} \quad (1)$$

که در این رابطه $\Delta(i)$ عددی تصادفی در بازه $[0, 1]$ است. هنگامی که یک باکتری مسیر بهتری را برای تغذیه کشف می‌نماید، دیگر باکتری‌ها را به سمت خود جذب نموده و پساز آن باکتری‌ها سریع‌تر به موقعیت منبع تغذیه اصلی خواهند رسید. در این مقاله، جهت افزایش احتمال دسترسی باکتری‌ها به مناطق مساعدتر و اشتراک اطلاعات میان عناصر جمعیت، هر باکتری دارای حافظه بوده و مقدار $\Delta(i)$ مطابق رابطه (۲) تعیین می‌گردد:

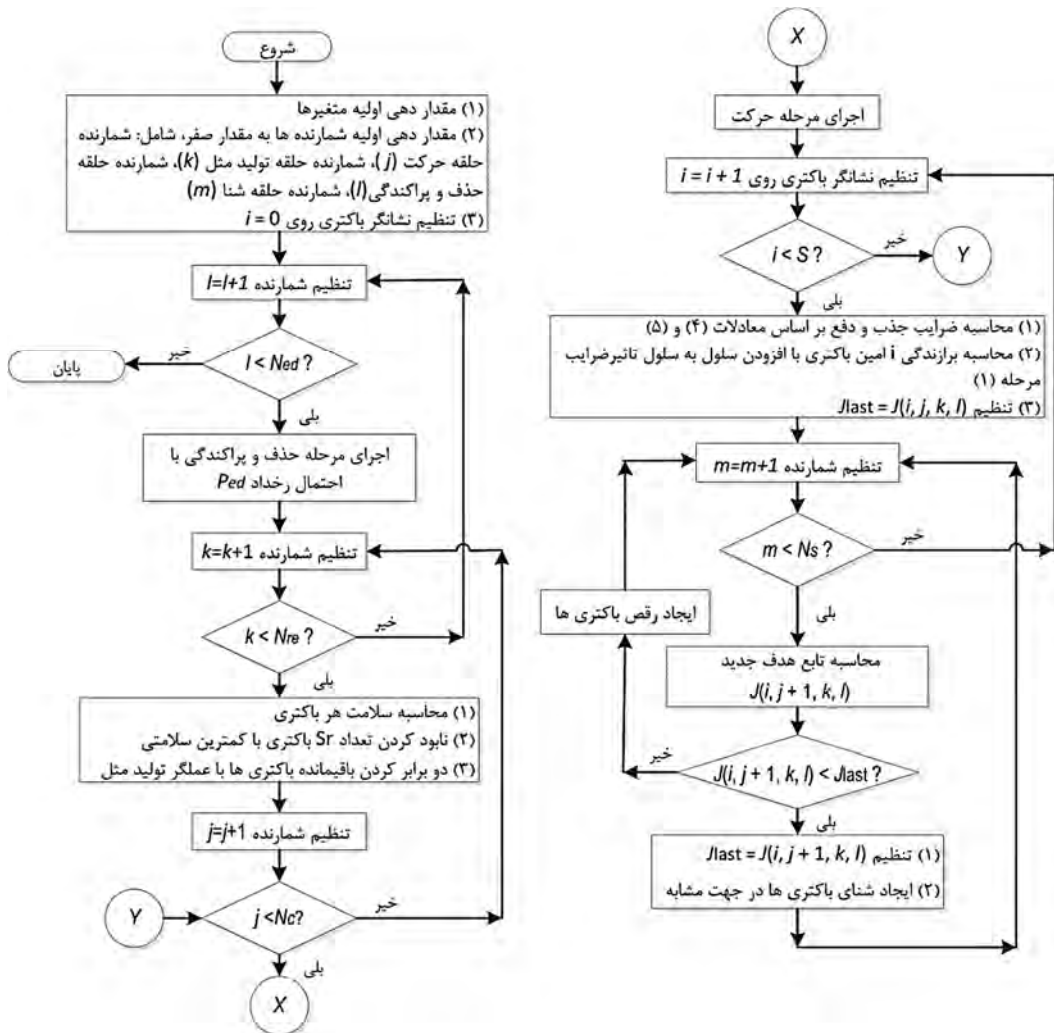
$$\Delta(i) = (\theta_{gbest} - \theta^i(j, k, l)) + (\theta_{pbest}^i - \theta^i(j, k, l)) \quad (2)$$

^۱ Chemotactic

^۲ Swarming

^۳ Reproduction

^۴ Elimination and Dispersal



شکل ۱- فلوچارت الگوریتم بهبودیافته G-BFOA

می‌شوند مطابق روابط (۴) و (۵)، با گذشت زمان و تعداد تکرارهای بیشتر الگوریتم، میزان جذب باکتری‌ها و ازین‌روی نرخ تغییرات سرعت همگرایی الگوریتم کاهش می‌یابد. همچنین باکتری‌ها متناسب با برآزندگی خود دارای انرژی جنبشی بوده که با حرکت به سمت نواحی غنی از مواد مغذی، میزان آن کاهش می‌یابد.

$$d_{attract}^i = 1 - \omega_{attract}^i = \sum_{N=1}^{N_c} \kappa \times \left[d_{attract}^0 \frac{E}{M} \times \left(\frac{N_c - N}{N_c} \right)^\alpha \right] \quad (4)$$

$$E = J^i(j, k, l) \times J^{i'}(j, k, l)$$

$$M = (\Delta\theta^i(j, k, l) + \varepsilon)^2 \times [J(i, j, k, l) + J(i', j, k, l)]$$

$$d_{repellant}^m = 1 - \omega_{repellant}^m = \sum_{N=1}^{N_c} \kappa \times \left[d_{repellant}^0 \frac{H}{S} \times \left(\frac{N_c - N}{N_c} \right)^\alpha \right]$$

$$H = (\Delta\theta^m(j, k, l) + \varepsilon)^2 \times [J(m, j, k, l) + J(m', j, k, l)] \quad (5)$$

$$S = J^m(j, k, l) \times J^{m'}(j, k, l)$$

در این مقاله، به منظور ارتقاء عملکرد گروهی و ایجاد توازن میان ویژگی‌های متتمرکزسازی و متنوعسازی الگوریتم، نوعی خاصیت جذب فیزیکی بین باکتری‌ها برقرار می‌شود که از روی آن، خاصیت متتمرکزسازی الگوریتم بهبود می‌یابد. در روابط پیشنهادی (۴) و (۵) به ترتیب بر حسب $\Delta\theta^i$ بین دو باکتری در مکان منابع غنی‌تر (پاسخ‌های برتر) و $\Delta\theta^m$ بین دو باکتری در محیط عاری از مواد مغذی (پاسخ‌های با برآزندگی بیشتر) نیروی کشش و دافعه‌ای بین آن‌ها ایجاد می‌شود، به‌گونه‌ای که جذب بین پاسخ‌های برتر، بر حسب اختلاف موقعیت آن‌ها بیشتر از جذب بین باکتری‌هایی باشد که در نواحی دور از منابع غذایی و دورتر از یکدیگر واقع شده‌اند. در این صورت، برای هر باکتری این مقادیر محاسبه شده و متناسب با آن، ضرایب وارد معادله (۳) $\{\omega_{repellant}, d_{repellant}, \omega_{attract}, d_{attract}\}$

پراکندگی از به دام افتادن باکتری‌ها در نقاط بهینه محلی جلوگیری می‌کند.

۴- مدل‌سازی برنامه‌ریزی مأموریت UAV

به منظور اجرای خودکار مأموریت جستجو و نجات توسط سکوی پرنده بدون سرنشین، سیستم‌های پردازش تصاویر و سیستم برنامه‌ریزی مسیر در ایستگاه زمینی به صورت تعاملی همکاری می‌کنند (شکل ۲). از طرفی، با توجه به تغییرات محیط پس از وقوع بلایای طبیعی نظیر سیل و زلزله، توپوگرافی منطقه و جزئیات عوارض موجود نیست، در نتیجه نیاز به تولید DTM^۱ منطقه نیز می‌باشد. بدین منظور می‌توان در ایستگاه زمینی، با بهره‌گیری از اطلاعات دریافت شده از سنجنده‌های تصویری روی سکو، مدل DTM منطقه را برآورد نمود. همچنین این مدل می‌تواند از طریق پروازهای بی‌درنگ دیگری با سکوهای سبک‌تر ساخته شود. سپس در ایستگاه کنترل زمینی، با دریافت ورودی خام حسگرهای نصب شده بر روی سکو و ارسال آن‌ها به سیستم پردازش تصاویر، تولید و آماده‌سازی DTM منطقه انجام شده و این مدل به برنامه‌ریز ارسال می‌شود. سیستم برنامه‌ریز مسیر نیز با دریافت مدل دینامیکی UAV، قیود مأموریت، مکان فرود، نقاط کنترل و DTM منطقه، مسیر بهینه جهت اجرای مأموریت جستجو را محاسبه می‌کند. سپس مسیر محاسبه شده به خلبان خودکار ارسال گردیده و سکوی پرنده ضمن دنبال کردن مسیر پیشنهادی، پرواز امداد و نجات را آغاز نموده و پرواز جستجو را تا هنگام دستیابی به اطلاعات کافی از منطقه و کشف مجروه‌های ادامه می‌دهد. اطلاعات اخذشده از حسگرهای از طریق ارتباط رادیویی به ایستگاه کنترل زمینی ثابت یا متحرک ارسال می‌شود و مأمورین امداد می‌توانند از طریق اطلاعات ویدئویی و تصاویر به دست‌آمده، مکان افراد آسیب‌دیده یا خطرهای احتمالی را شناسایی کنند. در این مقاله از ارائه جزئیات سیستم پردازش تصاویر جهت تشخیص خودکار مجروه‌های و تولید DTM خودداری می‌شود. در ادامه روش برنامه‌ریزی مسیر سکوهای پرنده به صورت یک مسئله مقید بهینه‌سازی ذکر شده است

که در این روابط $d_{attract}^0$ نشان‌دهنده مقدار اولیه ضریب جذب و در بازه $[0, 1]$ بوده و κ و α اعدادی تصادفی در بازه $[0, 1]$ می‌باشند.

۳-۳- تولید مثل

برای بیشینه دفعات حرکت، یک مرحله تولید مثل در جمعیت باکتری‌ها در نظر گرفته شده است. بدین منظور، باکتری‌ها بر مبنای مواد مغذی به دست‌آمده تا مرحله پیش، مرتب می‌شوند. سپس $S_r = S / 2$ باکتری‌های با رده سلامتی کمتر حذف گردیده و باکتری‌های بازمانده هر کدام به دو باکتری در همان موقعیت تبدیل خواهند شد. این فرآیند افزون بر تسهیل فرآیند کد نویسی، موجب تثبیت اندازه جمعیت می‌گردد. همچنین باکتری‌های پروردهای حفظ شده و مناطق بهینه ممکن دقیق‌تر جستجو خواهند شد. مقدار پرازنده‌گی α امین باکتری، یا سلامتی آن، در ز امین حرکت، k امین تولید مثل و α امین حذف و پراکندگی پس از طی کردن N بار مرحله حرکت، از معادله (۶) پیروی می‌کند:

$$J^i_{health} = \sum_{j=1}^{N_c+1} J^i(j, k, l) \quad (6)$$

۴- ۴- حذف و پراکندگی

با تغییرات ناگهانی شرایط محیطی از جمله دما یا میزان ماده مغذی، ممکن است برخی باکتری‌های محیط، کشته یا پراکنده شوند. در نتیجه این مرحله از ابتدا در مرحله حرکت به سمت غذا تداخل ایجاد می‌کند، اما از طریق پراکنده‌سازی باکتری‌ها، بار دیگر آن‌ها را در مکان‌های نزدیک به منابع غذایی بهتر قرار می‌دهد. معادل هر مرحله تولید مثل، یک حذف و پراکندگی اتفاق می‌افتد. بدین منظور، به ازای هر باکتری یک عدد تصادفی در دامنه $[0, 1]$ به نام P_{ed} تولید می‌شود. در صورتی که این احتمال کمتر از یک پارامتر از پیش تعیین شده باشد، باکتری از بین می‌رود و در غیر این صورت، باکتری جدیدی در محیط ایجاد می‌شود. همچنین این عملگر می‌تواند حرکت باکتری به یک موقعیت تصادفی جدید را در نظر بگیرد. مرحله حذف و

محدوده جستجو، ارتفاع پرواز باید ثابت و کمتر از حد مرزی H_1 باشد. (د) بهمنظور جلوگیری از اعوجاج تصاویر و تأمین پوشش موردنیاز لازم است که سرعت پرواز ثابت و بیشینه زاویه چرخش سکو در راستای مسیر کمتر از حد بیشینه β باشد. (ه) عملیات پرواز باید در درون محدوده جغرافیایی تعیین شده جهت عملیات امداد و نجات انجام شود. (و) مسیر سکو باید از نواحی ممنوعه پرواز نظری پایگاه‌های نظامی دوری کند. (ز) مسیر حرکت سکو به‌گونه‌ای باشد که احتمال تشخیص مجروه‌های بیشینه شود.

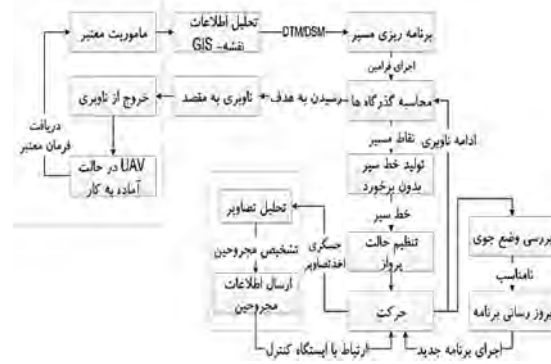
در این پژوهش، مسئله برنامه‌ریزی مأموریت امداد و نجات به صورت یک مسئله بهینه‌سازی مقید تعریف گردیده به‌گونه‌ای که زمان پرواز کمینه شود. ازانجاكه پرواز جستجو با سرعت ثابت انجام می‌شود، کمینه‌سازی زمان مأموریت معادل با کمینه‌سازی طول مسیر خواهد بود. در نتیجه مسیر بهینه UAV باید با در نظر گرفتن قیود ذکر شده محاسبه شود. در رابطه (۹)، طول مسیر تولیدشده خم $p(u)$ می‌باشد.

$$\begin{aligned} \min kC_L + (1-k)C_s & \quad 0 < k < 1 \\ \text{s.t. } x_3^{Path} - x_3^{DTM} & < S_d, \quad \varphi_{i,i+1} < \beta, \\ x_3^{curve} & < H_L, \quad R > r_{\min} \end{aligned} \quad (8)$$

$$C_L = L_u - L_0 = \sum_{i=0}^{N-1} \|p(u_{i+1}) - p(u_i)\|_2 \quad (9)$$

$$C_s = \sum_{i=0}^{N-1} \min \left\{ \|p(u_i) - p(h_i)\|_2 - R_s, 0 \right\} \quad (10)$$

جهت جستجو و تشخیص مجروه‌های UAV عملیات جستجوی مجروه‌های بیزیر است که زیر برای مأموریت راههای گذرنده از نقاط مرجع، مکان‌های بهینه برای دیدن مکان فرد آسیب‌دیده باشند. همچنین فرض می‌شود که ناحیه‌ای پیرامون نقاط مرجع وجود دارد که اجازه می‌دهد UAV در آن نواحی منطقه را بهمنظور کشف مجروه‌های پایش کند، اما هر چه UAV از موقعیت مجروح دورتر باشد، کیفیت اطلاعات گردآوری شده کاوش خواهد یافته و در اثر آن، احتمال تشخیص مجروح کمتر خواهد بود. معادله (۱۰) بیانگرتابع هزینه تعريف شده برای قطعات خم بیزیر است که باید کمینه گردد. در رابطه (۱۰)،



شکل ۲- فلوچارت برنامه‌ریزی UAV در مأموریت جستجو و نجات

در الگوریتم برنامه‌ریزی مسیر، جهت دستیابی به مسیر هموار و قابل پرواز، کاهش پیچیدگی هندسی مسیر حرکت، دستیابی به انعطاف‌پذیری در طراحی مسیر، امکان ویرایش نقاط کنترل بدون محاسبات مجدد، کاهش پیچیدگی زمانی - حافظه الگوریتم و حجم محاسبات در طراحی چندجمله‌ای‌های با مرتبه بالا از مدل ریاضی خم‌های بیزیر^۲ بهره‌گیری شده است. مسیر پایانی باید به‌گونه‌ای باشد که خمیدگی لازم جهت پرهیز از مسیرهای مستقیم و چرخش‌های تند را تأمین کند. از طرفی پارامترهای لازم جهت تعریف هندسه خم کمتر از معادلات دیگر است که موجب کاهش پیچیدگی زمانی الگوریتم برنامه‌ریزی خواهد شد. حالت چند جمله‌ای خم‌های بیزیر با نقاط کنترل $\{p_0, p_1, \dots, p_n\}$ مطابق معادله (۷) می‌باشد:

$$\begin{aligned} P(t) &= \sum_{m=0}^n t^m C_m \\ C_m &= \frac{n!}{(n-m)!} \sum_{i=0}^m \frac{(-1)^{i+m} p_i}{i!(m-i)!} = \prod_{k=0}^{m-1} (n-k) \sum_{i=0}^m \frac{(-1)^{i+m} p_i}{i!(m-i)!} \end{aligned} \quad (7)$$

در این پژوهش، محدودیت‌های زیر برای مأموریت امداد و نجات به وسیله UAV در نظر گرفته می‌شود: (الف) با توجه به اینکه زمان پس از وقوع مخاطرات طبیعی عامل حیاتی محسوب می‌شود، زمان پرواز جستجو محدود بوده و سکو باید در کمترین زمان ممکن مأموریت را به انجام رساند. (ب) با توجه به تجهیزات نصب شده بر روی سکوی پرنده، مسیر حرکت باید به‌گونه‌ای باشد که اینمی سنجنده‌ها و سکو بیشینه گردد، از این‌رو برای جلوگیری از برخورد با سطح نیز پارامتر اینمی S_d تعیین می‌شود. (ج) با توجه به حد تفکیک تصاویر مجروه‌های گستره

^۲ Bezier Curve

پارامترهای اجرای الگوریتم‌ها ارائه گردیده است. در سطر واپسین این جدول نیز مقادیر پارامترهای الگوریتم برنامه‌ریزی UAV (U-PP) نشان داده شده است.

جدول ۲- مقادیر استاندارد پارامترهای الگوریتم‌ها

الگوریتم	پارامترها
ACO	Initial pheromone value $s_0 = 1E-5$, exploration constant $q_0 = 1$, local pheromone decay rate $q_l = 0.4$, global pheromone decay rate $q_g = 0.8$, pheromone update constant $Q = 18$, visibility sensitivity $b = 6$, pheromone sensitivity $s = 1$
BA	Loud $A = 0.85$, scaling $e = 0.3$, pulse rate $r = 0.6$
DE	Crossover CR = 0.5, weighting factor F = 0.95
ES	Off-springs k = 20, standard deviation r = 1
GA	Roulette wheel selection, single point crossover, crossover probability of 1, mutation 0.01
PSO	Inertial constant = 0.3, social constant of swarm interaction = 1, cognitive constant = 1
G-BFO	Number of chemotactic steps $N_c = 50$, number of reproduction steps $N_{re} = 2$, number of elimination-dispersal events $N_{ed} = 1$, probability of elimination-dispersal $P_{ed} = 0.25$
U-PP	$S_d = 0.05$, $\beta = 60^\circ$, $R_S = 10$, $H_L = 50$, $r_{min} = 5$

به منظور شبیه‌سازی سناریوی I، ۸ نقطه به عنوان موقعیت مaproj بر روی DTM تعیین گردید. پیاده‌سازی‌ها با در نظر گرفتن میزان جمعیت الگوریتم‌ها برابر ۱۰۰ و با تعداد تکرار ۱۰۰ انجام شده و در پایان نتایج برآمده از میانگین اجرایها بررسی می‌گردد. با بررسی نتایج شبیه‌سازی در شکل ۳، می‌توان مشاهده کرد که عملکرد الگوریتم‌های GA و PSO از نظر سرعت همگرایی به نقطه بهینه پس از ۵۰ تکرار تفاوت اندکی با هم دارند، اما پیش از آن نرخ همگرایی الگوریتم PSO بهتر بوده است. الگوریتم ACO نیز دارای کمترین سرعت همگرایی می‌باشد. از سوی دیگر، عملکرد الگوریتم DE تا پیش از ۲۰ تکرار سرعت همگرایی بیشتری نسبت به الگوریتم DA داشته، اما پس از ۲۰ تکرار از نظر سرعت همگرایی BA بیشتر می‌باشد؛ اما نتایج الگوریتم G-BFOA بیانگر این است که الگوریتم يادشده افروزن بر دقت در پاسخ پایانی از سرعت همگرایی بهتری برخوردار بوده و در

$p(h_i)$ بیانگر موقعیت مaproj ام و R_s نشان‌دهنده شعاع ناحیه تحت جستجو خواهد بود. پارامتر k نیز به منظور پاسخگویی به تمایلات یگان تصمیم گیر برای اجرای مأموریت و گزینش اولویت‌های اجرایی و تأمین انعطاف‌پذیری لازم برای کنترل یکپارچه فرآیندهای بهینه‌سازی تعریف شده است.

۵- ارزیابی و تحلیل نتایج شبیه‌سازی

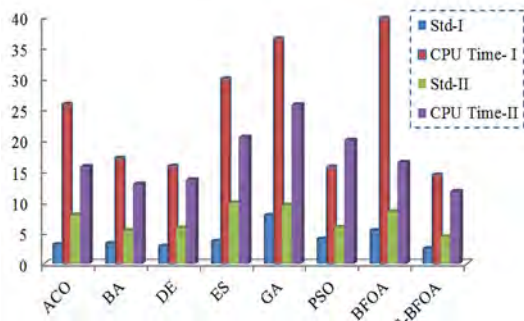
کلیه پیاده‌سازی‌ها در شرایط یکسان و با بهره‌گیری از نرم‌افزارها و سیستم ارائه شده در جدول ۱، انجام گردیده است. جهت مقایسه عملکرد الگوریتم پیشنهادی از دید سرعت همگرایی، زمان اجرا و کیفیت پاسخ‌ها به منظور برنامه‌ریزی مسیر سکوی خودکار، مقایسه‌ها با الگوریتم‌های BA, ACO, ES, DE, GA و PSO صورت گرفته است.

جدول ۱- جزئیات سیستم پیاده‌سازی

نام	مشخصات رایانه
CPU	Pentium IV processor
بسامد	1.7 GHz
RAM	512 MB
حافظه	160 GB
سیستم	Windows XP3
زبان	MATLAB R2012a (7.14)
نرم‌افزارها	ArcGIS 10.2 [Arc-Scene]

به منظور بررسی قابلیت روش پیشنهادی، از داده‌ها و پارامترهای اولیه یک مأموریت شبیه‌سازی شده امداد و نجات بر روی یک مدل DTM بهره‌گیری می‌شود. در این مدل، ضمن برطرف کردن خطاهای موجود، از فیلترهای آشکارساز به صورت تدریجی و برای نمایانه سازی تغییرات جزئی ارتفاعی و لبه‌ها استفاده می‌شود. همچنین عملکرد الگوریتم‌ها در دو سناریو بررسی می‌شود: (الف) در سناریوی I، برنامه‌ریزی UAV به گونه ایست که مسیر بهینه را ضمن جستجو و تشخیص دست‌کم ۸ مaproj بر سطح DTM دنبال کند. (ب) در سناریوی II، باستی کوتاه‌ترین مسیر ممکن را با در نظر گرفتن تمامی قیود و به منظور گشت زنی، پایش شرایط محیطی و گردآوری اطلاعات پیمایش کند. در این سناریو عملیات جستجو انجام نمی‌گردد. در جدول ۲، مقادیر استاندارد

نتایج به دست آمده در سناریو II، کمترین انحراف از معیار و زمان اجرا مربوط به نتایج الگوریتم G-BFOA می‌باشد، انحراف از معیار پاسخ الگوریتم‌های PSO، DE، BA، GA و ES در رده‌های بعدی قرار گرفته‌اند.



شکل ۴- مقایسه عملکرد الگوریتم‌ها از دید زمان اجرا و دقت نتایج

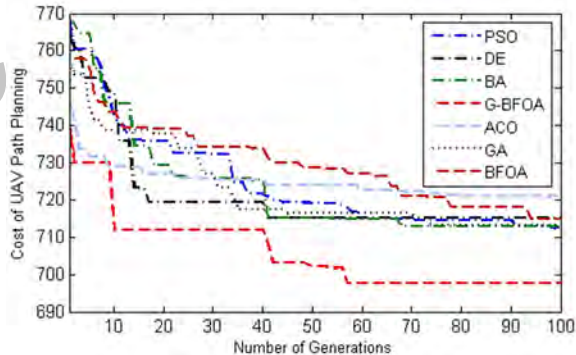
از دید زمان اجرا و انحراف معیار، ضعیف‌ترین عملکرد در سناریو I به ترتیب مربوط به الگوریتم‌های BFOA و GA بوده و در سناریو II نیز به ترتیب از آن الگوریتم‌های ES و GA می‌باشد.

جدول ۳- زمان اجرا و انحراف معیار نتایج شبیه‌سازی

نتایج	سناریو I		سناریو II		
	الگوریتم	Mean \pm std	CPU(s)	Mean \pm std	CPU(s)
ACO	ACO	740.462 ± 3.14	25.7156	734.453 ± 7.95	15.6645
BA	BA	737.699 ± 3.32	16.9652	726.674 ± 5.42	12.9432
DE	DE	736.961 ± 2.87	15.6689	731.543 ± 5.83	13.6376
ES	ES	738.382 ± 3.67	29.8393	732.952 ± 9.92	20.4464
GA	GA	778.791 ± 7.88	36.3192	746.695 ± 9.53	25.7179
PSO	PSO	741.969 ± 4.03	15.5157	731.881 ± 5.94	19.9474
BFOA	BFOA	749.823 ± 5.40	39.6593	736.783 ± 8.46	16.3536
G-BFOA	G-BFOA	732.663 ± 2.47	14.3438	725.326 ± 4.37	11.7443

نتایج شبیه‌سازی عملیات جستجو و نجات به وسیله سکوی پرنده خودکار برای سناریو I در شکل ۵ ارائه شده است. DTM مطابق این سناریو، مکان ۸ مجرح ثابت روی منطقه در نظر گرفته شده و خط سیر مقید پرواز بر پایه هر الگوریتم محاسبه گردید. پس از به دست آمدن نقاط مسیر بهینه توسط الگوریتم G-BFOA، مختصات نقاط لازم برای پدیدآوری مسیر، به سیستم یکسان با DTM انتقال داده شد. جهت فراهم آوردن امکان پرواز در سراسر نقاط متعلق به خط سیر، فرآیند هموارسازی خم‌ها در نقاط همبندی و پیچ‌ها اجرا گردیده است. در نهایت به وسیله امکانات دیداری‌سازی نرم‌افزار ArcGIS 9.3، خط

کمتر از ۴۰ تکرار، نرخ همگرایی بیشتری نسبت به دیگر الگوریتم‌ها داشته است. این امر نشان می‌دهد که احتمال به دام افتادن الگوریتم در نقاط کمینه محلی کمتر از دیگر الگوریتم‌ها خواهد بود، اما نسخه بهبودیافته G-BFOA همچنان بهتر از الگوریتم BFOA می‌باشد؛ اما سرعت همگرایی آن در گام‌های اولیه، کمتر از الگوریتم DE است؛ اما با گذشت زمان و محاسبه ضرایب جذب و دفع مطابق معادلات توسعه داده شده، نرخ رشد سرعت الگوریتم نسبت به تمامی الگوریتم‌ها افزایش می‌یابد. همچنین با تراز پارامترهای الگوریتم‌ها، عملکرد بهتر از DE نیز در سراسر فرآیند جستجو در نتایج مشاهده شد. با مقایسه اجراهای پیاپی، مشخص شد در این پیاده‌سازی‌ها حساسیت الگوریتم ACO و BFOA نسبت به تغییر پارامترهای مرزی قیود بیشتر است. همچنین الگوریتم‌های GA و BA با تنظیم پارامترها به صورت استاندارد، در برخی اجراهای، به پاسخ بهینه همگرا نمی‌شوند و با افزایش پیچیدگی محیط مسئله، دچار نوسان در همگرایی می‌باشد.



شکل ۳- نمودار همگرایی الگوریتم‌های G-BFOA، BFOA، GA، ACO، BA، DE، PSO برای مسئله برنامه‌ریزی مأموریت UAV در فضای 3D

جهت تسهیل مقایسه عملکرد الگوریتم‌ها از دید زمان اجرا و دقت نتایج، علاوه بر شکل ۴، در جدول ۳ نیز زمان اجرا و انحراف از معیار میانگین نتایج متناظر با هر الگوریتم ارائه می‌شود. بر پایه نتایج سناریو I، الگوریتم پیشنهادی نسبت به دیگر الگوریتم‌ها از دقت بیشتری G-BFOA برخوردار است. همچنان زمان اجرای الگوریتم از دیگر الگوریتم‌ها کمتر است. از دیدگاه زمان اجرای الگوریتم‌ها، الگوریتم‌های PSO، DE، BA، ACO، ES و BFOA در رده‌های بعدی قرار گرفته‌اند. بر مبنای GA و BFOA در رده‌های انتهایی قرار گرفته‌اند. بر مبنای

۶- نتیجه گیری

به کارگیری الگوریتم‌های برنامه‌ریزی UAV، امری بهشت موردنیاز در صنعت UAV و کاربردهای وابسته نظیر سنجش از دور، فتوگرامتری و جستجو و نجات ماجروحین در شرایط مدیریت بحران می‌باشد. UAV با پوشش سامانمند نواحی که دسترسی نیروهای امداد زمینی به آن‌ها ممکن نیست، نقش تعیین‌کنندۀ را در ارتقاء کیفیت مأموریت امداد و جستجوی ماجروحین پس از وقوع مخاطرات طبیعی ایفا می‌کنند. در این پژوهش ضمن ارائه و به کارگیری الگوریتم پیشنهادی G-BFOA، نتایج برنامه‌ریزی UAV خودکار در مأموریت‌های امداد و نجات ارائه گردیده است. بر پایه پیاده‌سازی‌ها، الگوریتم پیشنهادی تحت دو سناریوی شبیه‌سازی شده امداد و نجات دارای سرعت همگرایی و دقت بیشتر و زمان اجرای کمتری نسبت به الگوریتم‌های BA، ACO، PSO و BFOA، GA، ES، DE می‌باشد. نتایج بدست‌آمده نشان می‌دهد که روش پیشنهادی می‌تواند عملکرد ممتازی جهت برنامه‌ریزی UAV خودکار در مأموریت‌های امداد و نجات ماجروحین پس از مخاطرات طبیعی داشته باشد.

سیر محاسبه شده توسط الگوریتم G-BFOA بر فراز DTM منطقه تحت عملیات نمایش داده شده است. در شکل ۵، چهارگوش‌های آبی نشان‌دهنده مکان ماجروحین ثابت می‌باشند. در کارهای آینده می‌توان با در نظر گرفتن پیچیدگی‌های محیطی از مسیرهای با تعداد بخش‌های متغیر، برای تولید جمعیت جدید استفاده کرد. هم‌چنین در صورت نیاز به برنامه‌ریزی بی‌درنگ، امکان توسعه الگوریتم‌های سریع‌تر نیز خواهد بود. در نتیجه، می‌توان شرایطی را در طراحی الگوریتم‌های تکاملی دیگر لحاظ نمود تا مرتبه پیچیدگی باز هم کاهش یابد.



شکل ۵- نتایج شبیه‌سازی پرواز بهینه در فضای 3D با الگوریتم ArcGIS 10.2 G-BFOA

مراجع

- [1] Ergezer, H. and Leblebicioğlu, K. (2013). "Path planning for UAVs for maximum information collection using evolutionary computation". *IEEE Trans. Aerosp. Electron. Syst.* Vol 49, No.1, PP.502–520.
- [2] Goodrich, M., Morse, B., Gerhardt, D., Cooper, J., Quigley, M., Adams, J. and Humphrey, C. (2008). "Supporting wilderness search and rescue using a camera-equipped mini UAV". *J. Field Robot.* Vol. 25, No.1-2, PP.89–110.
- [3] Kapucu, N., Arslan, T., Demiroz, F. (2010)."Collaborative emergency management and national emergency management network." *Disaster Prevention and Management*. Vol.19, No.4, PP.452-468
- [4] Murphy, R. R., Steimle, E. et al. (2008). "Cooperative use of unmanned sea surface and micro aerial vehicles at Hurricane Wilma." *Journal of Field Robotics*. Vol.25, No.3, PP.164-180.
- [5] Niethammer, U., James, M. R., Rothmund, S., Travellietti, J., & Joswig, M. (2012). "UAV-based remote sensing of the Super-Sauze landslide: Evaluation and results." *Engineering Geology*. Vol.128, PP.2-11.
- [6] Doherty, P. and Rudol, P. (2007). "A UAV search and rescue scenario with human body detection and geolocalization." in *AI 2007: Advances in Artificial Intelligence* (PP.1-13), Springer Berlin Heidelberg.
- [7] Goerzen, C., Kong, Z. and Mettler, B. (2010). "A survey of motion planning algorithms from the perspective of autonomous UAV guidance." *Journal of Intelligent and Robotic Systems*. Vol.57, No.1-4, PP.65-100.
- [8] Tomic, T., Schmid, K., Lutz, P., Domel, A., Kassecker, M., Mair, E. and Burschka, D. (2012). "Toward a fully autonomous uav: Research platform for indoor and outdoor urban search and rescue." *Robotics & Automation Magazine, IEEE*. Vol.19, No.3, PP.46-56.
- [9] Duan, H. and Li, P. (2014). "UAV Path Planning." In *Bio-inspired Computation in Unmanned Aerial Vehicles* (PP. 99-142). Springer Berlin Heidelberg.
- [10] Tisdale, J., Kim, Z. and Hedrick, J. K. (2009). "Autonomous UAV path planning and estimation." *Robotics & Automation Magazine, IEEE*. Vol.16, No.2, PP.35-42.
- [11] Zengin, U. and Dogan, A. (2007). "Real-time target tracking for autonomous UAVs in adversarial environments: a gradient search algorithm." *IEEE Transactions on Robotics*. Vol.23, No.2, PP.294-307.

- [12] Nikolos, I. K., Zografos, E. S. and Brintaki, A. N. (2007). "UAV path planning using evolutionary algorithms." In Innovations in Intelligent Machines-1 (PP. 77-111). Springer Berlin Heidelberg.
- [13] Foo, J. L., Knutzon, J., Kalivarapu, V., Oliver, J. and Winer, E. (2009). "Path planning of unmanned aerial vehicles using B-splines and particle swarm optimization." Journal of aerospace computing, Information, and communication. Vol.6, No.4, PP.271-290.
- [14] Duan, H. and Huang, L. (2014). "Imperialist competitive algorithm optimized artificial neural networks for UCAV global path planning." Neurocomputing. Vol.125, PP.166-171.
- [15] Pehlivanoglu, Y. V. (2012). "A new vibrational genetic algorithm enhanced with a Voronoi diagram for path planning of autonomous UAV." Aerospace Science and Technology. Vol.16, No.1, PP.47-55.
- [16] Duan, H., Yu, Y., Zhang, X. and Shao, S. (2010)."Three-dimension path planning for UCAV using hybrid meta-heuristic ACO-DE algorithm."Simulation Modelling Practice and Theory.Vol.18, No.8, PP.1104-1115.
- [17] Duan, H. B., Zhang, X. Y., Wu, J. and Ma, G. J. (2009). "Max-min adaptive ant colony optimization approach to multi-UAVs coordinated trajectory replanning in dynamic and uncertain environments." Journal of Bionic Engineering. Vol.6, No.2, PP.161-173.
- [18] Hargraves, C. R. and Paris, S. W. (1987). "Direct trajectory optimization using nonlinear programming and collocation." Journal of Guidance, Control, and Dynamics. Vol.10, No.4, PP.338-342.
- [19] Zhang, B., Liu, W., Mao, Z., Liu, J. and Shen, L. (2014). "Cooperative and geometric learning algorithm (CGLA) for path planning of UAVs with limited information." Automatica. Vol.50, No.3, PP.809-820.
- [20] Sathyaraj, B. M., Jain, L. C., Finn, A.and Drake, S. (2008). "Multiple UAVs path planning algorithms: a comparative study." Fuzzy Optimization and Decision Making. Vol.7, No.3, PP.257-267.
- [21] Heidari, A. A., Toloei, A. and Abbaspour, R. A. (2013). "Path planning of an autonomous mobile multi-sensor platform in a 3D environment using newtonian imperialist competitive optimization method" Int. Arch. Photogramm. Remote Sens. Spatial Inf. Sci., XL-1/W3, Tehran, PP.191-196.
- [22] Heidari, A. A. and Abbaspour, R. A. (2014). "Optimal flight trajectory planning using improved evolutionary method for UCAV navigation in 3D constrained environments", Aero2014, Tehran, Iran.
- [23] Heidari, A. A. and Abbaspour, R. A. (2014). "Improved black hole algorithm for efficient low observable UCAV path planning in constrained aerospace." Advances in Computer Science: an International Journal. Vol.3, No.3, PP.87-92.
- [24] Heidari, A. A. and Abbaspour, R. A. (2014). "A gravitational black hole algorithm for autonomous UCAV mission planning in 3D realistic environments." International Journal of Computer Applications. Vol.95, No.9, PP.42-47.
- [25] Heidari, A. A. and Abbaspour, R. A. (2014). "A hybrid approach based on computational geometry and LCA algorithm for low observable UAV trajectory planning in dynamic environments", Nimc2014, Tabriz, Iran.
- [26] Heidari, A. A. and Abbaspour, R. A. (2014). "An efficient approach based on immunological computation to solve the NP-complete problem of autonomous UAV trajectory planning in 3D constrained aerospace." Nimc2014, Tabriz, Iran.
- [27] Heidari, A. A. and Abbaspour, R. A. (2014)."Fuzzy path planning for undetectable multi-sensor platforms based on improved imperialist competitive algorithm using chebyshev chaotic system", ICFS2014, Tabriz.
- [28] Kochersberger, K., Kroeger, K., Krawiec, B., Brewer, E. and Weber, T. (2014). "Post-disaster remote sensing and sampling via an autonomous helicopter." Journal of Field Robotics. Vol.31, No.4, PP.510-521.
- [29] Okumura, T., Suzuki, K., Fukuda, A., Kohama, A., Takasu, N., Ishimatsu, S. and Hinohara, S. (1998). "The Tokyo subway sarin attack: disaster management, Part 1: community emergency response." Academic Emergency Medicine. Vol.5, No.6, PP.613-617.
- [30] Das, S., Biswas, A., Dasgupta, S. and Abraham, A. (2009). "Bacterial foraging optimization algorithm: theoretical foundations, analysis, and applications." In Foundations of Computational Intelligence. Vol.3, PP.23-55, Springer Berlin Heidelberg.
- [31] Heidari, A. A. (2012). "Metaheuristic algorithms for optimization problems combined with pseudo code and implementation in ruby language (Persian)." Satellite Press, Tehran, ISBN: 978-600-92896-8-4.
- [32] Kim, D. H., Abraham, A. and Cho, J. H. (2007). "A hybrid genetic algorithm and bacterial foraging approach for global optimization." Information Sciences. Vol.177, No.18, PP.3918-3937.
- [33] Ali, E. S. and Abd-Elazim, S. M. (2011). "Bacteria foraging optimization algorithm based load frequency controller for interconnected power system." International Journal of Electrical Power and Energy Systems. Vol.33, No.3, PP.633-638.
- [34] Majhi, R., Panda, G., Majhi, B. and Sahoo, G. (2009). "Efficient prediction of stock market indices using adaptive bacterial foraging optimization (ABFO) and BFO based techniques." Expert Systems with Applications. Vol.36, No.6, PP.10097-10104.
- [35] Chen, H., Zhu, Y. and Hu, K. (2010). "Multi-colony bacteria foraging optimization with cell-to-cell communication for RFID network planning." Applied Soft Computing. Vol.10, No.2, PP.539-547.